2025 大學生創意物理實作競賽

團隊名稱:藍色阿凡達

教具名稱:光語者

目標對象 (年齡層): 高中生

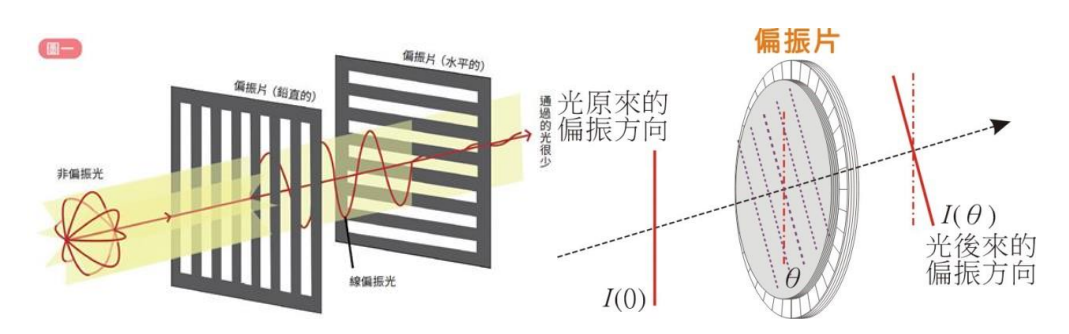
操作時間預估: 20 分鐘

一、教具目標簡述(Objectives):

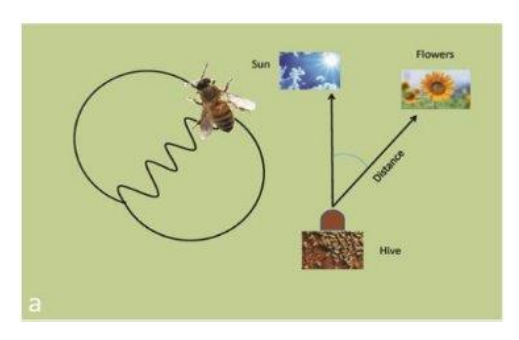
透過由洋芋片空筒製作的圓筒模型裝置,觀察與探討光在不同角度的偏振片下的光行為,並理解光與偏振軸之間的關聯。同時,利用太陽光來觀察筒的進光量,並經由調整偏振片角度,模擬蜜蜂八字舞原理與效果,進一步理解偏振光與偏振片的光學現象。

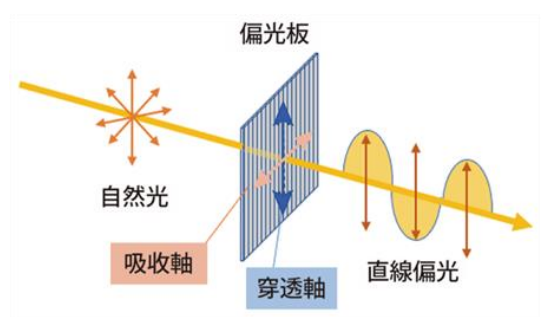
二、科學原理(物理模型)

- 光的偏振: 光的偏振是指光的電場振動方向具有特定規律的性質,可透 過偏振片、反射或雙折射等方式產生與控制。
- 偏振片與偏振光關係:偏振片能控制與分析偏振光的方向,當偏振光通過偏振片時,只有與其偏振軸平行的振動分量能穿透;若偏振片與偏振光的振動方向夾角改變,透過光強度依 Malus 定律 I = I₀ cos² θ, θ 為偏振片的偏振軸與入射偏振光的振動方向之間的夾角。當偏振軸互相垂直時,光被完全吸收,顯示偏振片可有效調節與檢測偏振光特性。



 天空偏振光導航原理:蜜蜂透過八字舞以中心線相對重力的角度表示食物 與太陽的夾角,以震動頻率與時間長短表示距離;而蜜蜂的複眼內有可感 知偏振方向的感光細胞,能根據天空偏振光圖樣推測太陽方位。





• 太陽光為非偏振光,當太陽光進入大氣層經由分子產生 Rayleigh 散射後部分散射光變成偏振光,因此天空不同方向的光偏振程度不同。透過 Rayleigh 散射理論公式 $P = \frac{I_{\perp} - I_{\parallel}}{I_{\perp} + I_{\parallel}}$ (P 為偏振度), $I_{\perp} \propto 1$ 為電場震盪方向垂

直於散射平面的分量強度, $I_{\parallel} \propto \cos^2 \theta$ 則為電場震盪方向平行於散射平面的分量強度,經過整理 $p = \frac{1-\cos^2 \theta}{1+\cos^2 \theta} = \frac{\sin^2 \theta}{1+\cos^2 \theta}$,從公式可得知 $\theta = 90^\circ$ 時,偏振度最大.

三、 實驗設計與規劃

學生探究問題:

- ① 為什麼轉動偏振片會變暗?
- ② 為什麼在轉 90° 時文字浮現?
- ③ 為什麼蜜蜂能看到人眼看不到的偏振光?

教具硬體內容:

- 1. 偏振片 Polarizer
- 2. 圓筒 (洋芋片空筒) Cylinder

教具使用流程:

〈實驗一: 偏振片交叉實驗〉

實驗目的:透由轉動偏振片,不同角度的變換,觀察並得知光的偏振效果。

Step 1 將初始偏振片安裝上教具模型



Step 2 將要觀測的英文字安裝上教具模型

Step 3 從左至右滑動英文字偏振片

Step 4 辨認出該英文字母



〈實驗二:天空偏振光導航實驗 〉

實驗目的:利用偏振片明顯明暗變化,找出光源位置。



Step 1 將十字偏振片換上

Step 2 盡可能的側視於光源方向

Step 3 轉動圓筒,觀察產生的明暗變化

Step 4 改變自身位置觀察偏振片的明暗差異,逐漸找出光源位置



安全提醒:請避免直接注視太陽光,建議以天空散射光進行觀察。

四、程式碼摘要

〈實驗一:偏振片交叉實驗〉

流程:

- 1. 掃描資料夾(RAW 或 DNG 檔)
- 2. 暗場平均
- 3. 建立/載入 ROI
- 4. 逐角度處理
- 5. 正規化與理論
- 6. 擬合與不確定度
- 7. 繪圖 (3 張): Malus 曲線、線性度檢查、殘差 vs 角度

〈實驗二:天空偏振光導航實驗〉

流程:

- 1. 讀檔與線性化(RAW 或 DNG 檔)
- 2. 黑卡/灰卡校正
- 3. 尺寸/方向對齊(補 NaN 到共同最大尺寸)
- 4. Stokes 計算
- 5. ROI 產生(處理 NaN)
- 6. 光束方向估測

- 7. 角度對齊
- 8. 像素篩選與統計
- 9. 濃度聚合
- 10. 繪圖 (3 張): DoLP-濃度、R-濃度、AoLP 誤差箱型圖

五、量化實驗結果與分析

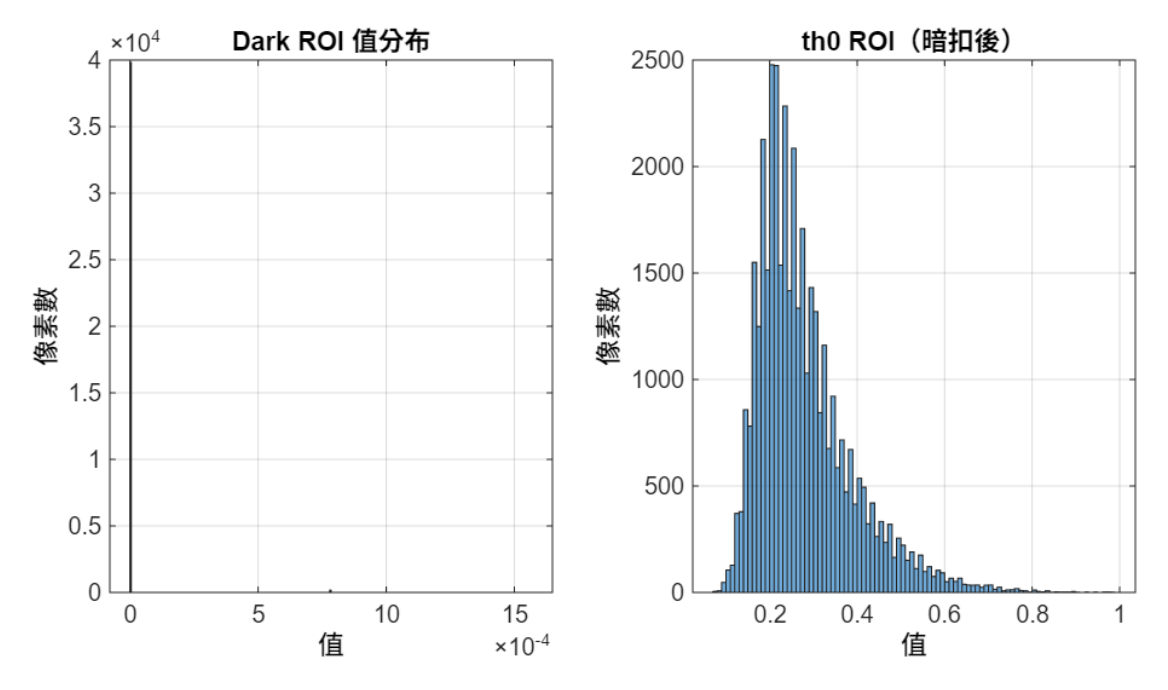
相機設定:



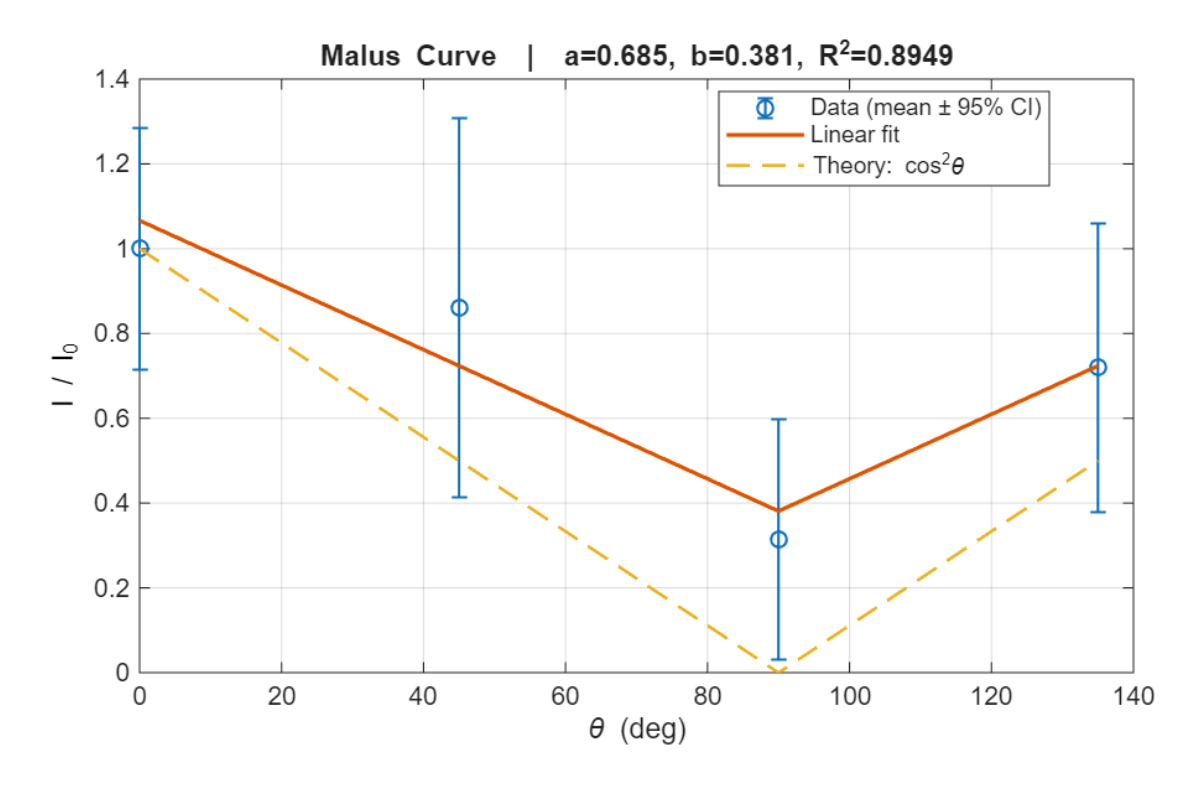
〈實驗一: 偏振片交叉實驗〉

量化方式:透過手機相機儲存照片 (RAW 檔),透過 matlab 取得數據訂進行分析。

核心公式: Malus 定律: $I = I_0 \cos^2 \theta$:



《圖一》左圖:暗場,右圖為扣除暗場後的亮度分布



《圖二》Malus 曲線(含誤差棒)

• 藍色圓點:誤差棒(代表每個角度的光強平均值±95%的信賴區間)

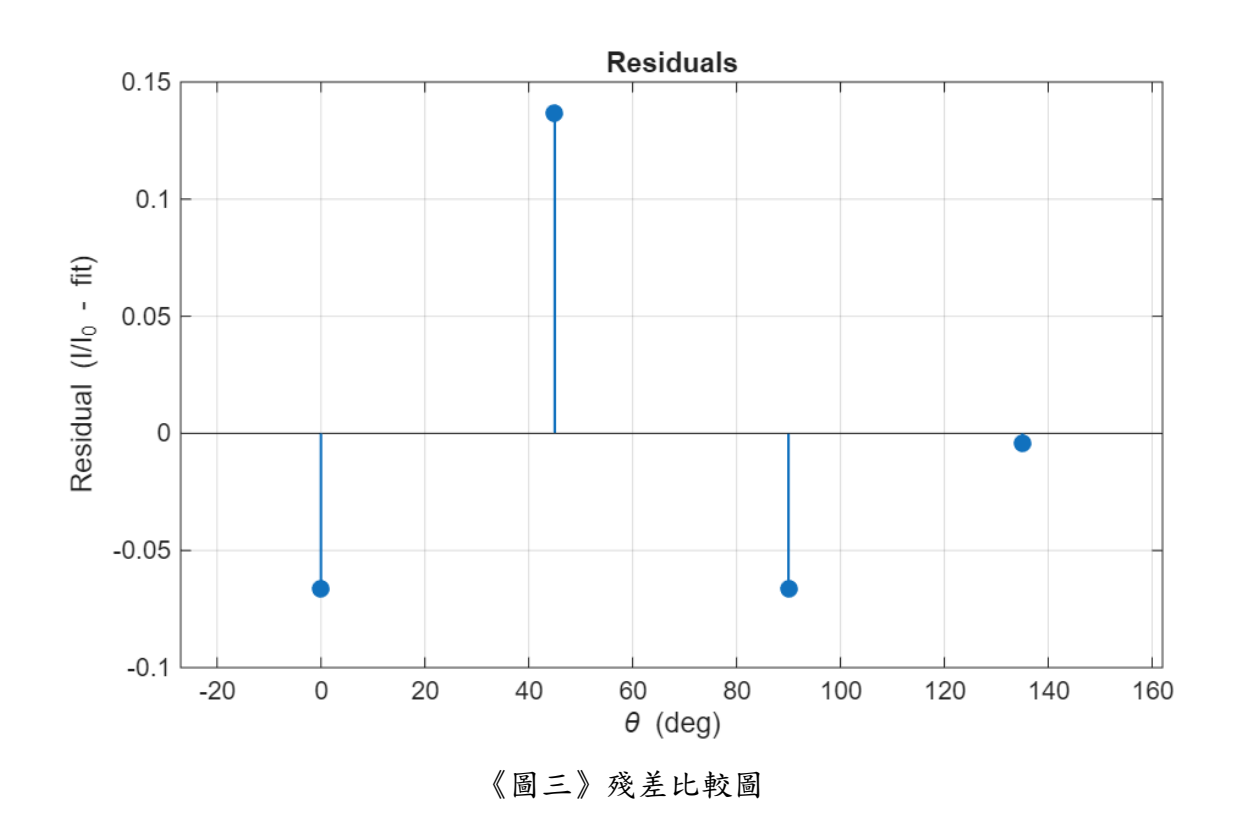
• 橘色實線:線性擬合的結果 $\frac{I}{I_0} = a\cos^2\theta + b$

黃色虛線:理論結果cos²θ

• 上方標示:擬合結果

解讀:

- 1. 斜率 a=0.685<1:此值代表光強變化幅度,代表理論應變化幅度為1時,實際光強變化幅度只有約68%。
- 2. 截距 b=0.381:此值含意為背景光或漏光偏移量(理論值=0)。代表偏振片的偏振軸垂直時,仍具38%的光穿透,可能是背景光或散射造成的。
- 3. $R^2 = 0.8049$:此值代表擬合接近度,越接近1代表符合理論,整體而言符合 Malus 定律,但具少量偏差。



- 殘差幅度落在±0.15(表 15%的誤差)。
- 正負誤差交替分布,表示偏振片角度或光軸稍有偏移。
- 沒有明顯單方向誤差,表示沒有嚴重的系統性誤差,主要為隨即及不均勻 光。

實驗一總結:

數據可清楚呈現偏振現象,符合 Malus 曲線 ($R^2 \approx 0.89$),但光強變化幅度不夠大且受背景光干擾,導致最低點被抬高,幅度不明顯。若提升消光比、優化拍攝環境及角度的矯正,R 可提升至 95%,殘差可下降 5%。

〈實驗二: 天空偏振光導航實驗 〉

量化方式:透過手機相機儲存照片(RAW 檔),透過 MATLAB 取得數據訂進行分析。

核心公式

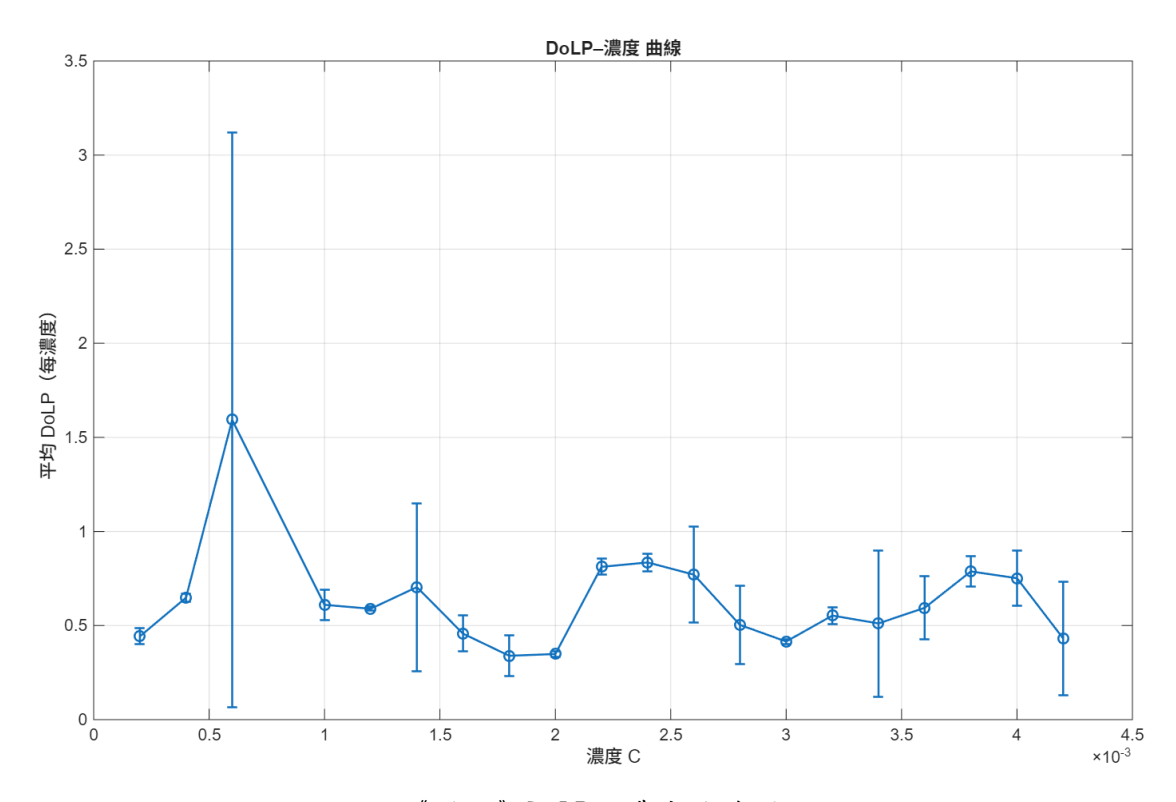
Stokes \$\psi\$ \$\psi\$: $S_0 = I_0 + I_{90}, S_1 = I_0 - I_{90}, S_2 = I_{45} - I_{135}$

DoLP 線偏振度: $\frac{\sqrt{S_1^2+S_2^2}}{S_0}$

AoLP 偏振角度: $\frac{1}{2}a\tan(S_2,S_1)$

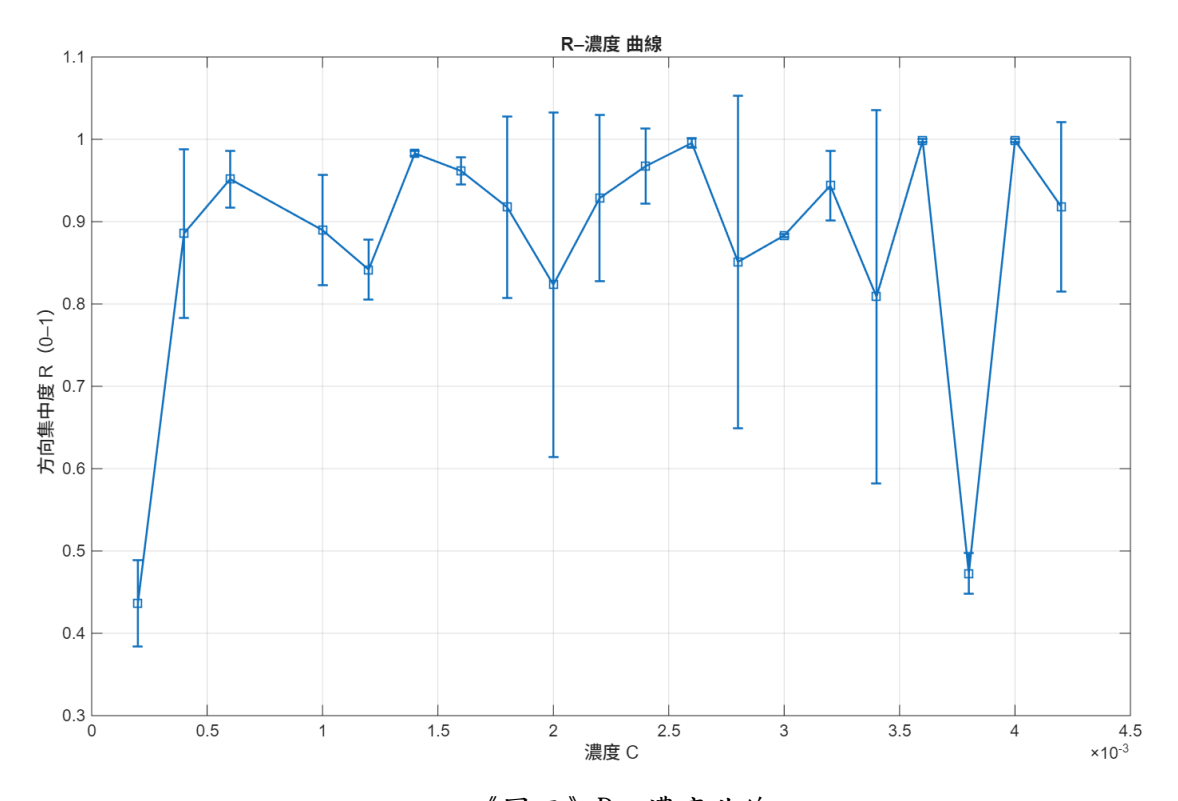
R 方向穩定度: $R = \sqrt{C^2 + S^2}$, $C = \frac{\sum_{w_i \cos \phi_i}}{\sum_{w_i}}$, $S = \frac{\sum_{w_i \sin \phi_i}}{\sum_{w_i}}$, w_i : DoLP 為權重, ϕ_i : AoLP

角度乘2



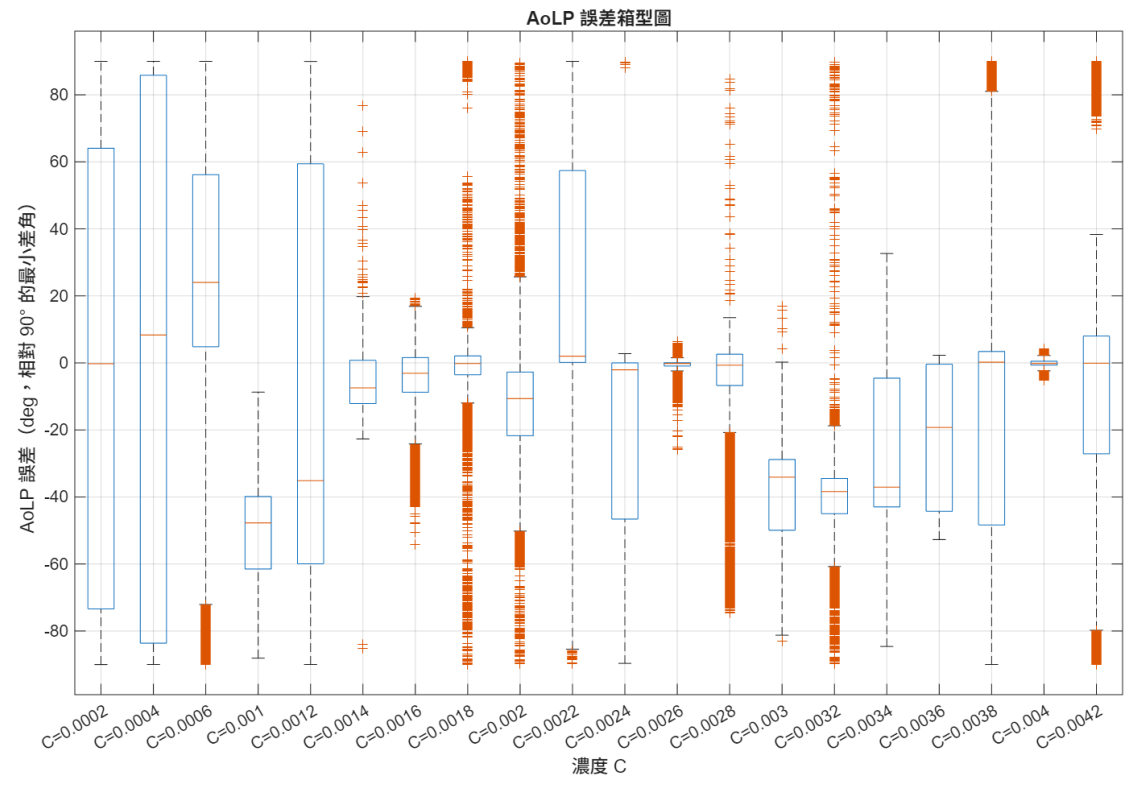
《圖四》DoLP-濃度曲線圖

- 主體落在 0.4 0.8;在 $C \approx 6 \times 10^{-4}$ 有一個 DoLP≈1.6 的尖峰且誤差棒極長 (明顯異常點)。
- 除該點外,稀端 DoLP 較高,隨濃度提升整體降到中等並出現小幅起伏 (0.45~0.7)。



《圖五》R-濃度曲線

- 大多數濃度 R≥0.9,方向一致性高;
- 在最稀一端 $C \approx 2 \times 10^{-4}$ 有 R≈0.45 的低谷;中高濃度有零星下探(誤差棒 較長),其餘維持 0.9~1.0。



《圖六》AoLP 誤差箱型圖

- 多數濃度的中位數落在 -35°到 -10°, 不是 0°; 顯示 AoLP 整體有固定 偏移。
- IQR 多在 20~30°,與 R 高相符(方向分布窄);個別濃度(如 0.0032、
 0.0042)髮鬚與離群點較多,代表當次量測混入雜訊/高光或多重散射較強。

實驗二總結:

- DoLP 趨勢:與預期相符,稀溶液以「單次散射」為主,偏振保留較多;濃度提高後多重散射增加,DoLP 下降且起伏。局部高點(如0.0022~0.0026)常是 ROI 正好抓到主光柱、環境光抑制較好的情況。
- R高但 AoLP 偏移: R 長期 ≥0.9 說明方向很穩; 然而 AoLP 多為負值 偏離 90°, 屬系統性零點偏差(可能是光束方向估測 θ_光束被杯壁高 光/暗尾拉斜 10~30°,或偏振片/相機零度定義不一致)。
- 異常點(C≈6×10⁻⁴的 DoLP>1、長誤差棒;以及少數 R 低谷),可能
 原因:
- 1. RAW 非線性/局部飽和
- 2. ROI 選取時含杯壁或液面鏡面反射
- 3. 信噪比過低(最稀端雜光占比高)

六、 結論

I. 總結研究發現與理論接近的趨勢

- 成功量測 Malus 定律趨勢: I/I_0 随角度呈 V 形;線性檢核得到 a = 0.685、b = 0.381、 $R^2 = 0.895$ → 整體吻合度良好。
- 偏振效率未達理想:斜率 a<1,可調變成分約 68%;顯示偏振片消光 比與系統去偏振影響存在。
- 背景/漏光顯著:截距 b≈0.38,即使近乎交叉仍有~38% 殘餘光;
 來源可能為散射、反射面或環境雜光。
- 殘差型態合理: $45^{\circ}/135^{\circ}$ 為正、 $0^{\circ}/90^{\circ}$ 略負,RMS 誤差約 ~0.08;符合「角度零點有小偏移 Δ 」的特徵。
- DoLP:在稀濃度端較高;濃度升高後,因多重散射增加, DoLP 整體下降並伴隨局部起伏。
- R:多數濃度 R≥0.9,代表偏振方向高度一致;僅在 SNR 低或幾何高光/多重散射較強時出現下探。
- AoLP:分布普遍狹窄穩定(與R高相符),但相對90°存在固定偏移(約-35°~-10°),顯示需要一次性的零點校正 (光束方向或偏振片零度)。

II. 影響資料品質的關鍵原因

- 1. 手機拍攝的穩定度不夠(尺寸、曝光、背景/漏光顯著…)、設備非機械控制(角度誤差、抖動)。
- 2. ROI 若含杯壁/液面高光或四角度曝光不一致,會造成 DoLP 異常 (甚至 >1) 與 R 下滑;加入最亮百分比 + 形態內縮 + 邊界距離 的 ROI 收斂與飽和像素剔除後,誤差棒顯著縮短,曲線更平順。

III. 應用價值

- 從「看到」變成「量到」
 不只演示明暗變化,還能輸出 DoLP-濃度曲線、R-濃度曲線、AoLP
 誤差箱型圖 與 CSV 表,讓學生連結到「散射平面」「單次/多重散射」等核心概念。
- 低成本、可複製、可擴充 玻璃杯+水/牛奶+手機相機+偏振片即可;軟體全自動,支援 (DNG, RAW) 或線性 16-bit TIFF。
- 跨學科學習場域
- 1. 物理:Malus、Rayleigh、偏振與 Stokes 參量。
- 2. 數學/統計:向量平均、圓統計 (R、IQR、RMSE)。
- 3. 資工/影像:RAW 線性化、ROI、Hough/PCA、曲線擬合與資料視覺化。
- 4. 生物:模擬蜜蜂視角去製作教具模型。

教具硬體經費估算表:

項目	名稱	數量	單價	總價
1	偏振片	2 片	145NTD	290NTD
2	圓筒 (洋芋片空筒)	1個	45NTD	45NTD

參考資料(References):

- F. Logiurato, "Teaching light polarization by putting art and physics together," *arXiv* preprint arXiv:1803.09645 [physics.ed-ph], Mar. 26, 2018.
- B. Hunt, A. J. Ruiz, and B. W. Pogue, "Smartphone-based imaging systems for medical applications: A critical review," *Journal of Biomedical Optics*, vol. 26, no. 4, p. 040902, Apr. 2021, doi: 10.1117/1.JBO.26.4.040902.